

## بررسی آزمایشگاهی اثر دبی و غلظت نانوسیال گرافن-آب و یافتن شرایط مطلوب به کمک روش تاگوچی

امید رمضانی ازغندي<sup>\*</sup>، محمد جواد مغربی<sup>\*</sup>، علیرضا تیمورتاش

گروه مهندسی مکانیک، دانشگاه فردوسی مشهد، مشهد، ایران.

### تاریخچه داوری:

دریافت: ۱۴۰۰/۰۵/۰۲

بازنگری: ۱۴۰۰/۰۷/۱۸

پذیرش: ۱۴۰۰/۰۸/۱۳

ارائه آنلاین: ۱۴۰۰/۰۸/۲۲

### کلمات کلیدی:

نانوصفحه‌های گرافن

فعال کننده سطحی

درصد وزنی نانوسیال

اثربخشی

عملکرد

**خلاصه:** در این مقاله به کمک فعال کننده سطحی سدیم دودسیل سولفات، نانوصفحه‌های گرافن در سیال پایه آب پایدار گردید. نانوسیال تهیه شده در درصد وزنی های ۱۴۵/۰-۰/۱ در تبادل گر گرمایی صفحه‌ای واشردار در مجاورت سیال سرد (آب مقطر) قرار گرفت. تمام آزمایش‌ها برای جریان آرام در گستره اعداد رینولز ۱۵۰۰-۵۰۰ انجام گردید. اثر تغییر دبی و غلظت نانوسیال بر ضریب کلی انتقال حرارت و افت فشار بررسی شد. مشخص شد که بیشترشدن غلظت، باعث بیشترشدن هم‌زمان هردو عامل می‌گردد، درنتیجه کارایی و اثربخشی نانوسیال نیز مورد آنالیز قرار گرفت. مشخص گردید که بیشترشدن غلظت باعث بیشترشدن اثربخشی نانوسیال و کارایی می‌شود. بیشترین اثربخشی (۸۹٪) و کارایی (۱/۲۴۴) در دبی حداقل (۲ لیتر بر دقیقه) و غلظت حد اکثر (۱۴۵٪ درصد وزنی) اتفاق می‌افتد. برای یافتن شرایط مطلوب (اثربخشی بالاتر)، به کمک روش تاگوچی، آزمایش‌ها آنالیز گردید و صحت آزمایش‌ها تأیید شد. همچنین مشخص شد که کم شدن دبی (۹۸/۵۶٪) اثر بیشتری بر نتایج نسبت به بیشترشدن درصد وزنی (۴۰/۴٪) دارد. میزان درصد خطای نیز (۰/۱۸٪) به دست آمد که دقت نتایج را نشان می‌دهد.

### ۱- مقدمه

آلومینیوم)، کاربید (سیلیکون کاربید) و نانو ساختارهای کربنی (نانولوله تک جداره، دوجداره، چندجداره، گرافن، گرافن نانو پلیت، اکسید گرافن و هیبرید آن‌ها) است [۳ و ۷ و ۹ و ۱۰]. در سال‌های اخیر به علت خواص ترموفیزیکی و پایداری مناسب نانو ساختارهای کربنی نسبت به سایر ذره‌ها، بیشتر این نانوذرات، مورد علاقه محققان قرار گرفته است. کربن دارای شکل‌های متفاوتی مثل الماس و گرافیت (که از معروف‌ترین مواد کربنی) است. شکل الماس سه‌بعدی، ورقه‌های گرافن دو‌بعدی، نانولوله کربنی یک‌بعدی و فولرن (باکی بال) صفره‌بعدی، از اشکال متفاوت کربن هستند. امروزه تولید گرافن و نانولوله‌های کربنی به سرعت در حال رشد و تکامل است. گرافن ورقه‌ای دو‌بعدی از اتم‌های کربن در یک پیکربندی شش‌ضلعی (لانه‌زنبری) است که در آن اتم‌های کربن با هیبرید SP<sup>3</sup> به هم متصل شده‌اند. این شبکه از دو معادل زیر نرده تشکیل شده که اتم‌های کربن همراه با پیوند سیگما ۵ پیوند می‌خورند. صفحه‌های گرافن با کنار هم قرار گرفتن اتم‌های کربن (که با پیوندهای کووالانسی به هم وصل شده‌اند و یک شبکه شش‌ضلعی کاملاً مسطح پدیدآورندۀ‌اند) تشکیل می‌شوند. در یک صفحه گرافن، هر اتم کربن

پایین بودن هدایت حرارتی سیال‌ها نظیر روغن موتور [۱]، آب [۲]، اتیلن گلیکول [۳] یا ترکیب آن‌ها (آب - اتیلن گلیکول) [۴] یک مشکل بزرگ در صنایع و فرایندهای مهندسی و در بحث انتقال حرارت است. یکراه، اضافه کردن ذرات جامد است که به دلیل ضریب هدایت بالاتر نسبت به سیال پایه، باعث بهبود هدایت حرارتی سیال می‌گردد، ولی اضافه کردن این ذرات جامد به سیال پایه به علت پایین بودن پایداری سوسپانسیون حاصل، بعد از مدت کوتاهی منجر به تدهشینی و رسوب‌گذاری می‌کند [۵]. به کمک روش‌های پایداری نظیر روش‌های کووالانسی، عامل‌دار کردن و غیر کووالانسی این مشکل نیز مرتفع شده است [۴ و ۶-۸] برای اولین بار کلمه نانوسیال را چوی<sup>۱</sup> در سال ۱۹۹۵ معرفی نمود [۶]. البته امروزه اغلب بررسی محققان، روی چند نمونه ذره متفاوت (به خصوص در سایز نانو) نظیر: فلزات (مس و طلا)، اکسید فلزات (دی‌اکسید تیتانیوم و اکسید منیزیم)، نیترید فلزات (نیترات

1 Choi

\* نویسنده عهده‌دار مکاتبات: mjmaghrebi@um.ac.ir

حقوق مؤلفین به نویسنده‌گان و حقوق ناشر به انتشارات دانشگاه امیرکبیر داده شده است. این مقاله تحت لیسانس آفرینندگی مردمی (Creative Commons License) در دسترس شما قرار گرفته است. برای جزئیات این لیسانس، از آدرس <https://www.creativecommons.org/licenses/by-nc/4.0/legalcode> دیدن فرمائید.



در تمام نانویاال‌ها می‌شود. افزایش دما نیز به بالا رفتن هدایت حرارتی منجر می‌شود. همچنین آن‌ها عنوان کردند که پایداری نانوذره منفرد، بیشتر از هیبرید حاصل است که دلیل را به نسبت اختلاط نامناسب فعال کننده سطحی، نوع فعال کننده سطحی و ریخت‌شناسی متفاوت گرافن و دی‌اکسید تیتانیوم نسبت دادند. هدایت حرارتی هیبرید البته بیشتر از نانویاال منفرد گزارش شد. عده‌ای دیگر از محققان به بررسی اثر نانویاال بر ضریب کلی انتقال حرارت و میزان افت فشار پرداخته‌اند. به عنوان نمونه اگرورومایور و همکاران [۱۵] نانوصفحه‌های گرافن را در سیال پایه پایدار ساخت (در غلظت ۱۰/۱۰ درصد وزنی) و به کمک تبادل‌گر گرمایی دولوله‌ای، اثر غلظت و دبی جرمی نانویاال بر ضریب انتقال حرارت و افت فشار را بررسی نمود و گزارش کرد که غلظت بهینه ۵/۰ درصد وزنی است. از غلظت پایین تا این میزان، ضریب انتقال حرارت در حال افزایش است و از این غلظت به بعد، افزایش غلظت، باعث کاهش ضریب جابجایی انتقال حرارت می‌گردد. امیری و همکاران [۳] نانوصفحه‌های گرافن را در اتیلن گلیکول پایدار ساختند و به کمک تبادل‌گر گرمایی پوسته و لوله، اثر دما، غلظت و دبی بر ضریب اصطکاک، ضریب انتقال حرارت و کارایی تبادل‌گر گرمایی را مورد بررسی قرار دادند و بیان نمودند که استفاده از نانویاال نسبت به سیال پایه جهت سرمایش بیشتر رادیاتور ماشین، مؤثر است.

راه دیگر، استفاده از تبادل‌گر گرمایی صفحه‌ای است که به دلیل شکل صفحات و چین‌وچروک روی صفحات آن، باعث افزایش سطح تبادل حرارت و درهم شدن جریان سیال می‌گردد. به تبع آن نرخ و میزان انتقال حرارت را افزایش خواهد داد که در بحث انژری سیار حائز اهمیت است. این تبادل‌گرهای گرمایی، همچنین به دلیل اشغال فضای کمتر، شستشو و اسید شویی راحت‌تر، راندمان بالا، تعمیر و نگهداری ساده، در این سال‌ها بیش از پیش مورد توجه محققان قرار گرفته است (نسبت به منابع کویل و تبادل‌گرهای پوسته و لوله) و پژوهشگران به کمک این تبادل‌گرهای بررسی سیال‌های مختلف برای سرمایش یا گرمایش بیشتر جهت، یافتن سیال مناسب در صنایع پرداخته‌اند [۱۸-۱۶]. به طور کلی استفاده نانویاال در تبادل‌گرهای گرمایی به‌طور همزمان، باعث بیشترشدن ضریب انتقال حرارت می‌گردد که یک نکته مثبت به شمار می‌آید و لی بیشترشدن ناسی از آن، یک نتیجه منفی به شمار می‌آید، زیرا باعث بیشترشدن سایز پمپ و به تبع آن بیشترشدن هزینه‌ها می‌گردد. امروزه سعی شده به کمک روش‌های جدید، به میزان انتقال حرارت مناسب دست یابند تا نسبت انتقال حرارت به افت فشار مطلوب گردد.

با سه اتم کربن دیگر پیوند داده است. این سه پیوند در یک صفحه قرار دارند و زوایای بین آن‌ها با یکدیگر ۱۲۰ درجه است. در این حالت، اتم‌های کربن در وضعیتی قرار می‌گیرند که شبکه‌ای از شش ضلعی‌های منظم را در حالت ایده‌آل ایجاد می‌کنند. از دیگر خواص استثنایی گرافن می‌توان به بی‌اثر بودن شیمیایی، استحکام قوی، هدایت حرارتی و الکتریکی بالا اشاره کرد، ولی به دلیل سطح ویژه زیاد، این مواد تمایل به تجمع و کلوخه شدن دارند [۱۱]. در این میان، پژوهش‌هایی در ارتباط با روش‌های پایداری و بررسی خواص ترموفیزیکی انجام شده است. به عنوان نمونه جانسون و همکاران [۱۲] به بررسی خواص ترموفیزیکی گرافن مانند هدایت حرارتی و لزجت و مقایسه آن با سیال پایه آب در دماهای متفاوت (۳۰، ۴۰، ۵۰، ۶۰ و ۷۰ درجه سانتی‌گراد) و دبی‌های نانویاال (۰/۶، ۰/۴، ۰/۸ و ۰/۰ لیتر بر دقیقه) متفاوت پرداخته است. برای پایداری آن از فعال کننده سطحی سدیم دودسیل بنزن سولفونات استفاده گردید. نتایج نشان دادند که بالارفتن دما در آب و نانویاال باعث بهبود هدایت حرارتی می‌گردد. همچنین بیشترشدن غلظت نانویاال نیز باعث بیشترشدن این میزان می‌گردد (در دماهای ۵۵ درجه سانتی‌گراد به ترتیب غلظت، میزان افزایش نسبت به سیال پایه برابر است با ۱۱/۹، ۱۶/۱ و ۱۸/۲٪). بیشترشدن دما از ۳۰ به ۸۰ درجه سانتی‌گراد در هردو سیال (سیال پایه و نانویاال) باعث کم شدن لزجت می‌گردد، این در حالی است که بیشترشدن غلظت، باعث بیشترشدن لزجت نسبت به سیال پایه می‌گردد. صدری و همکاران [۱۳] به بررسی اثر دما و غلظت روی هدایت حرارتی، لزجت و چگالی بعد از سنتز اکسید گرافن پرداختند. همچنین اثر پی اج محیط بر پایداری هم بررسی کردند و عنوان نمودند که در پی اج قلیایی، کمترین پایداری رخ می‌دهد. ژیان و همکاران [۱۴] به بررسی نقش فعال کننده سطحی بر پایداری هیبرید گرافن- دی‌اکسید تیتانیوم در سیال اتیلن گلیکول-آب پرداختند. برای ۷۰-۳۰ درجه سانتی‌گراد و در غلظت‌های ۰/۰۲۵، ۰/۰۵ و ۰/۰۷۵ درصد وزنی، بررسی‌ها انجام شده است. نتایج نشان دادند که بسته به نوع فعال کننده سطحی آئینونی و یا کاتیونی میزان عدد پتانسیل زتا منفی و مثبت می‌شود (برای غیر یونی‌ها گاهی مثبت و گاهی منفی). به عنوان نمونه تمام اعداد زتا پتانسیل برای استفاده از فعال کننده سدیم دودسیل سولفات<sup>۱</sup> منفی، استفاده از سدیم دودسیل سولفات<sup>۲</sup> مثبت و استفاده از پلی وینیل پیرولیدون<sup>۳</sup> برای سیال منفرد منفی و برای هیبرید مثبت است. افزایش غلظت باعث افزایش هم‌زمان هدایت حرارتی و لزجت، نسبت به سیال پایه

1 Sodium Dodecyle Sulfate (SDS)

2 Cetyl Trimethyl Ammonium Bromide (CTAB)

3 Poly Vinyl Pyrrolidone (PVP)

التراسونیک پرور دار به قدرت ۸۰۰ وات به مدت ۴۰ دقیقه ارلن به خوبی هم زده می‌شود تا در انتهای نانوسيال پایدار در درصد وزنی ۱۰٪ تهیه شود. نمونه‌های تهیه شده با اين روش، بيش از ۹ ماه پایدار بوده و هيجونه رسوب و تنهشيني در آن‌ها دیده نشد. ساير درصدهای وزنی ۰/۰۱، ۰/۰۵۵ و ۰/۱۴۵٪ تهیه شده اند. نيز به روش مشابه به دست می‌آيد که در شکل ۱ مشاهده می‌شود و تنها وزن نانوذره متفاوت است. نتایج آنالیز پتانسیل زتا نشان دادند که هرچه میزان درصد وزنی كمتر باشد، پایداری سیال بیشتر است. برای غلظت‌های بیان شده پتانسیل زتا به ترتیب برابر با ۳۲/۶۱، ۲۳/۶۸، ۲۳/۶۸ و ۱۹/۲۷-۱۶/۸۵ است. لازم به توضیح است که نسبت سدیم دودسیل سولفات به نانوذره ۱-۱ است. البته نسبت‌های ۰/۰۵ و ۰/۱-۲ نیز به کمک آنالیز پتانسیل زتا بررسی گردید، ولی بیشترین پایداری برای نسبت ۱-۱ به دست آمد (به ترتیب برای درصد وزنی ۰/۰۱، نتایج پتانسیل زتا برابر است با ۲۷/۴۳ و ۱۵/۳۳٪). اين بيان گر اين است که غلظت فعال کننده سطحی نیز برای تعلیق بسیار مهم است. در مقادیر کم فعال کننده، ثبات و دافعه الکتروسیسته ساکن ناکافی است و اگر مقدار آن بیش از حد باشد، فشار اسمزی، بیشتر باعث تجمع نانوذره در تعلیق شده و پایداری سیال را کاهش می‌دهد. شنبده و همکاران [۱۹] برای نانولوله کربنی و چند فعال کننده سطحی نظری صمغ عربی و سدیم دودسیل سولفات به نتیجه مشابه رسیدند که نسبت ۱-۱ بهترین پایداری را از خود نشان می‌دهد. در این پژوهش تمام آزمایش‌ها در دمای ۲۴ سانتی‌گراد انجام شد. باید عنوان گردد که قبل از پایداری نیاز است که نانوذره‌ها شست و شو داد شوند که اگر در زمان سنتز، مواد ناخواسته نظری دوده به نانوذره چسبیده باشد، عاری گردد. درنتیجه قبل از پایدارسازی به کمک محلول اسید‌سولفوریک (جرم مولکولی = ۹۸ گرم بر مول، چگالی برابر با ۱/۸۴ کیلوگرم بر لیتر، خلوص ۹۸٪) و اسید نیتریک (جرم مولکولی برابر با ۶۳/۹ گرم بر مول، چگالی برابر با ۱/۴۰ کیلوگرم بر لیتر، خلوص ۶۵٪) که به نسبت ۱-۳ حجمی می‌باشند، درون یک سونیکیتور حمامدار کاملاً هم‌زده و به کمک سانتریفیوژ که دارای ۵۰۰۰ دور بر دقیقه است با آب دیونیزه شستشو داده می‌شود که از اسیدهای واکنش نداده نیز عاری گردد و پودر ذره، در انتهای به دست آید. البته باید اذعان کرد طی این مرحله امکان دارد گروههای آب‌دوست و قطبی کربوکسیل و هیدروکسیل بر ساختار نانوذره بچسبد و به نوعی نانوذره عامل دار گردد که باعث پایداری بیشتر می‌گردد.

جهت ریخت‌شناسی پودر به دست آمده طیف‌سنج پراش انرژی پرتو ایکس، طیف‌سنج رامان و تصویر میکروسکوپ الکترونی عبوری انجام گردید که به ترتیب در جدول ۱، شکل ۲ و شکل ۳ مشاهده می‌گردد.

در این مقاله، هدف ساخت نانوسيال حاوی نانوصفحات گرافن در سیال پایه آب به روش غیرکووالانسی و بررسی آن در تبادل گر گرمایی صفحه‌ای است. از آنجا که تا زمان نگارش این مقاله، پژوهشی در زمینه بررسی همزمان کارایی تبادل گر صفحه‌ای و اشدار در این ابعاد (نیمه صنعتی)، راندمان حرارتی نانوسيال گرافن و یافتن همزمان شرایط مطلوب به روش تاگوچی (گرافن خالص به کمک این فعال کننده سطحی با توجه به اهمیت میزان پایداری) مشاهده نشده است، انگیزه گردید که این بررسی انجام گردد. برای این منظور به کمک فعال کننده سطحی سدیم دودسیل سولفات، نانوصفحه‌های گرافن در سیال پایه آب به نسبت مناسب ۱-۱ پایدار شد. نانوسيال تهیه شده در بستر آزمایشگاهی مجهز به تبادل گر گرمایی صفحه‌ای مدل ام ۳، به کار گرفته شد تا با تغییر دمای هیتر، تغییر دبی سیال و غلظت سیال، شرایط مطلوب مشخص گردد. با توجه به اهمیت میزان راندمان نانوسيال و کارایی مبدل در شرایط مطلوب در کاربردهای صنعتی نظیر سرمایش بیشتر روغن دنده، ذوب کردن رمپهای مجتمع‌های تجاری و فرودگاهها و یا سایز رادیاتورهای اتومبیل، به کمک طراحی آزمایش و روش تاگوچی شرایط مطلوب مورد بررسی قرار گرفت و با نتایج آزمایشگاهی مقایسه گردید، تا صحت نتایج مورد بررسی قرار گیرد و همچنین به این روش اثر بخشی هر عامل (میزان دبی و غلظت مناسب) بدست آید.

## ۲- بخش آزمایشگاهی

### ۱-۱- مواد و روش

برای تهیه نانوسيال حاوی گرافن، نانوصفحات گرافن<sup>۱</sup> (قطر ۳۰-۲۰ نانومتر و ضخامت در حدود ۴۰ نانومتر، محصول شرکت VCN ۵ گرم)، آب دیونیزه (۲۰۰ لیتر، از داخل ایران) و فعال کننده سطحی سدیم دودسیل سولفات (۵۰ گرم، محصول شرکت آزمیران ایران) تهیه گردید. فعال کننده سطحی دارای گروههای غیر قطبی آب‌گریز و قطبی آب‌دوست است، درنتیجه به راحتی گروههای آب‌دوست توسط مولکول‌های قطبی آب، جذب شده درحالی که گروههای آب‌گریز به جذب بر روی سطح گرافن ادامه می‌دهد. ابتدا ۱ گرم فعال کننده سطحی به آرامی به ارلن حاوی آب دیونیزه (آب دیونیزه از داخل خریداری شده، پی اچ خنثی) که روی همزمان مغناطیسی قرار دارد اضافه می‌شود و به مدت ۲۵ دقیقه به کمک مگنت به خوبی هم‌زده می‌شود. سپس به میزان ۱ گرم از نانوصفحه‌های گرافن به کمک اسپاتول و ترازوی دیجیتال وزن کرده و به محتویات ارلن اضافه می‌شود. به کمک یک

۱ Graphene NanoPlate (GNP)



شکل ۱. نانوسيال گرافن پايدار در غلظت‌های مختلف

Fig. 1. Stabilized graphene nanofluid at different concentrations

جدول ۱. طيفسنجي پراش انرژي پرتوايکس برای نانوصفحه‌های گرافن

Table 1. Energy Dispersive X-ray spectroscopy for graphene nanoplates

ماده خام	اجزای عناصر	نماد	نام عنصر	غلظت اتمی	غلظت وزنی	غلظت	نام
گرافن	۶	C	کربن	۱۰۰	۱۰۰	۱۰۰	

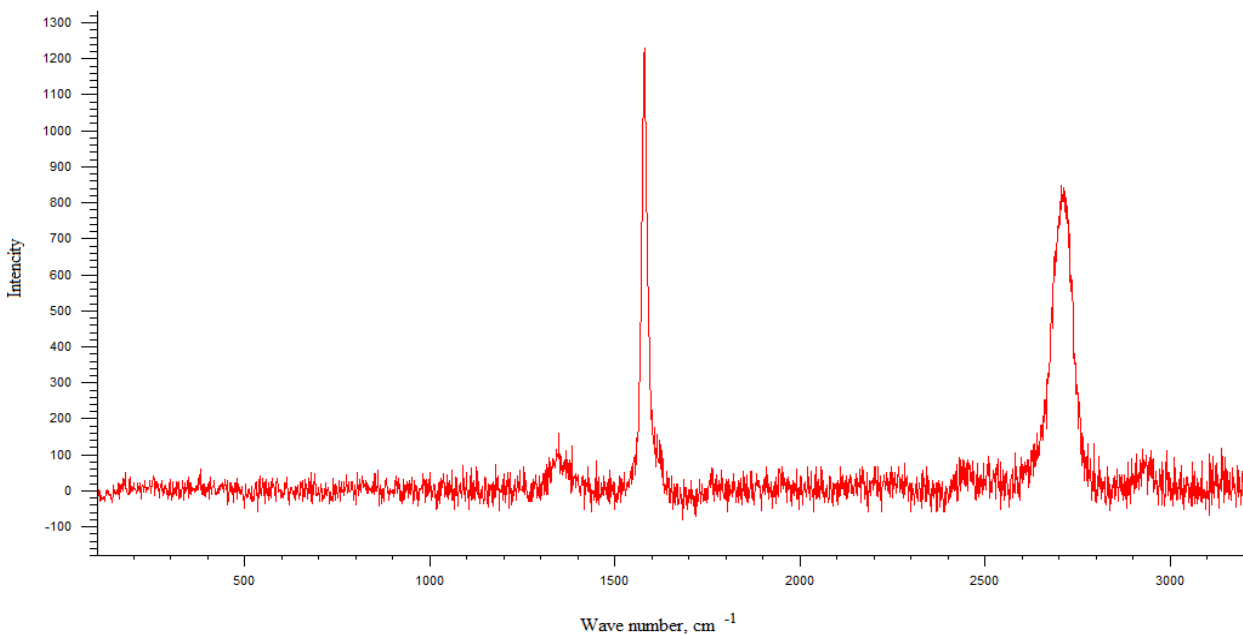
طول موج‌های بلند به عنوان نمونه در فرکانس‌های کم<sup>۳</sup>، ظاهر شوند که به خطوط استوکس معروف‌اند. حتی در طرف طول موج‌های کوتاه، ممکن است خطوط ضعیفتری به نام پاد استوکس با فرکانس<sup>۴</sup> ظاهر شوند. طیفسنجی رaman برای شناسایی ساختار مولکولی، بسیار مناسب است و با این روش تعیین فرکانس‌های چرخشی و ارتعاشی مولکول، ارزیابی هندسی و حتی تقارن مولکول‌ها امکان‌پذیر است. در برخی موارد که امکان تعیین ساختار مولکولی وجود ندارد، می‌توان با تکیه بر فرکانس‌های ثبت‌شده، قرار گرفتن اتم‌ها در یک مولکول را بررسی کرد. اطلاعاتی که توسط طیفسنجی مادون قرمز و رaman به دست می‌آید، بسیار مشابه هستند.

۱- طیفسنج پراش انرژی پرتوايکس<sup>۱</sup>: برای تجزیه و تحلیل ساختاری و خصوصیات شیمیایی نمونه، از طیفسنج پراش انرژی پرتوايکس استفاده شد. جدول ۱، طیفسنجی پراش انرژی پرتوايکس نانوصفحه‌های گرافن خام را نشان می‌دهد. همان‌طور که از جدول ۱ مشخص است، گرافن خالص شده است و عاری از آلودگی است.

۲- طیفسنج رaman<sup>۲</sup>: بهترین روش جهت بررسی ساختار نوع هیبریداسیون کربن‌های موجود، طیفسنجی رaman است. اگر گاز یا مایعی تحت تابش یک خط قوی با فرکانس اختیاری (به عنوان مثال، یکی از خطوط صادره از لامپ جیوه) قرار گیرد، نور پراکنده شده، عمدتاً دارای همان فرکانس است. اما یک یا چند خط ضعیف جایه‌جایی، ممکن است در طرف

3 vs  
4 va

1 Energy Dispersive X-ray spectroscopy (EDX)  
2 Raman



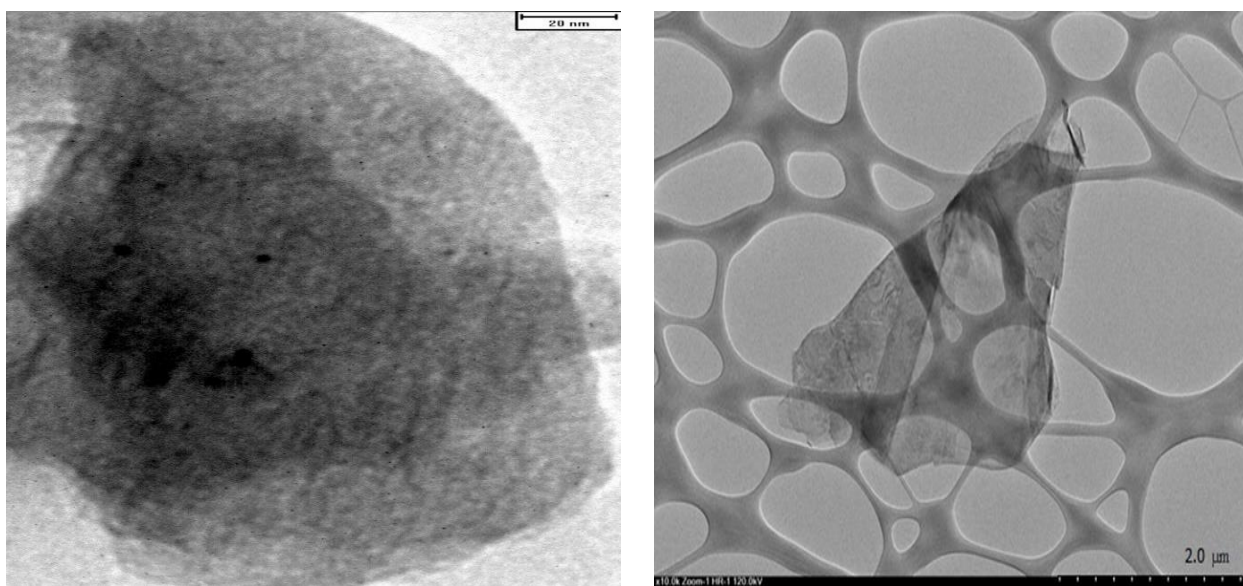
شکل ۲. آنالیز طیفسنج رامان برای گرافن

Fig. 2. Raman spectroscopy analysis for graphene

بر سانتی متر (D باند)، پیک دوم حوالی ۱۶۰۰ بر سانتی متر (G باند) و پیک سوم نیز حوالی ۱۷۰۰ بر سانتی متر (2D باند) مشاهده شد. درنتیجه صحت نتایج آنالیز رامان تأیید شد.

-۳- میکروسکوپ الکترونی عبوری<sup>۱</sup>: جهت بررسی ریختشناسی از میکروسکوپ الکترونی عبوری استفاده شد. میکروسکوپ الکترونی عبوری از جمله میکروسکوپ‌های الکترونی است که در آن از پرتو الکترونی متتمرکز شده، برای به دست آوردن تصاویر استفاده می‌شود. در این میکروسکوپ یک پرتو الکترونی مثل نور از درون نمونه بسیار نازک عبور کرده و متأثر از ساختار درونی نمونه می‌گردد. در واقع هنگامی که الکترون‌ها در میکروسکوپ الکترونی عبوری از درون نمونه عبور می‌کنند، انرژی خود را از دست می‌دهند و از طرف دیگر نمونه خارج می‌شوند. الکترون‌های خروجی دارای توزیع خاصی از انرژی هستند که مختص عنصر یا عناصر تشکیل‌دهنده نمونه است. پرتو الکترونی عبور کرده از نمونه، روی یک صفحه فسفری متتمرکز و سپس نمایش داده شده و یا برای پردازش کامپیوتراً به یک کامپیوتر فرستاده می‌شود. بعد از تشکیل شدن تصاویر روی صفحه فلورسنت یا

یکی از اصلی‌ترین کاربردهای طیفسنجی رامان، تعیین ساختار شیمیایی ترکیبات است. کاربرد اصلی رامان در بحث نانو ساختارهای کربنی، تعیین کردن نسبت گروههای بینظم به گروههای مماسی است. هیبریداسیون کربن موجود در گرافن (دارای خلوص بالا)  $\text{sp}^2$  است و اضافه شدن گروههای عاملی به ساختار اصلی آن‌ها، موجب تغییر هیبریداسیون کربن و تبدیل آن به  $\text{sp}^3$  می‌شود. گروههای بیننظم (D باندها) در گرافن دارای هیبریداسیون  $\text{sp}^3$  و گروههای مماسی (G باندها) شامل هیبریدهای  $\text{sp}^2$  است. افزایش نسبت G/ID، به معنای تغییر تعدادی از هیبریدهای  $\text{sp}^3$  است که این پدیده، درنتیجه اضافه شدن گروههای عاملی به ساختار اصلی رخ می‌دهد. به بیان دیگر هنگامی که  $\pi$  الکترون‌های موجود در ساختار گرافن تخریب می‌شوند، نقاط فعالی جهت واکنش با سایر مواد ایجاد می‌گردد و این نقاط به راحتی با گروههای عاملی وارد واکنش می‌شوند و این واکنش منجر به تغییر هیبریداسیون می‌گردد. نتایج طیفسنجی رامان جهت تعیین ساختار شیمیایی نانوصفحه‌های گرافن در شکل ۲ مشاهده می‌گردد. باتکلیو و همکاران [۲۰] برای نانوصفحه‌های گرافن مختلف (صفحات مختلف) به کمک آنالیز رامان سه پیک گزارش کردند. پیک اول حوالی ۱۲۰۰-۱۴۰۰



شکل ۳. تصاویر میکروسکوپ الکترونی عبوری برای گرافن

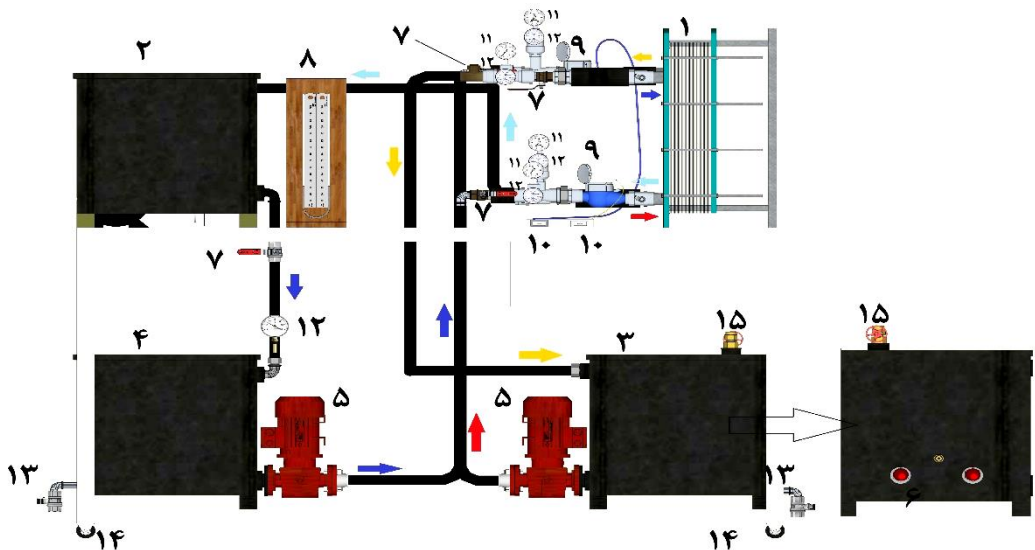
Fig. 3. Transmission Electron Microscope Images of graphen

### ۲-۲- دستگاه آزمایشگاهی

شکل های ۴ و ۵ به ترتیب طرحواره دستگاه و بستر ساخته شده، جهت بررسی ضریب کلی انتقال حرارت و افت فشار گرافن-آب در رژیم جریان آرام (گستره اعداد رینولدز ۱۵۰۰-۵۰۰) نشان داده شده است. بستر شامل دو حلقه سرد و گرم است که هر کدام دارای مخزن نگهداری سیال، پمپ، بخش اندازه‌گیری فشار و دما (قبل و بعد از تبادل گر) و بخش مربوط به اندازه‌گیری دبی سیال است. جهت اندازه‌گیری افت فشار، مانومتر U-شکل نیز در بستر، نصب شده است. همچنین در قسمت منبع گرم، دو المتر گرمایی مجهز به ترمومترات قرار دارد. برای این که دمای سیال سرد بعد از تبادل حرارتی در تبادل گر، به دمای ابتدایی برسد، در مسیر سیال سرد و قبل از منبع ذخیره سیال سرد، از یک سیستم سردساز استفاده شده است. برای حداقل رساندن اتلاف حرارت در مسیر سیال، از عایق الاستومری استفاده شده است. یک ترمومتر اضافه، جهت بررسی دمای برگشت سیال سرد شده در سیستم سردساز به تانک ذخیره نیز تعییه شده است، تا زمانی که به دمای اولیه سیال برسد، شیر باز گردد و سیال از منبع سردسازی به منبع ذخیره منتقل گردد.

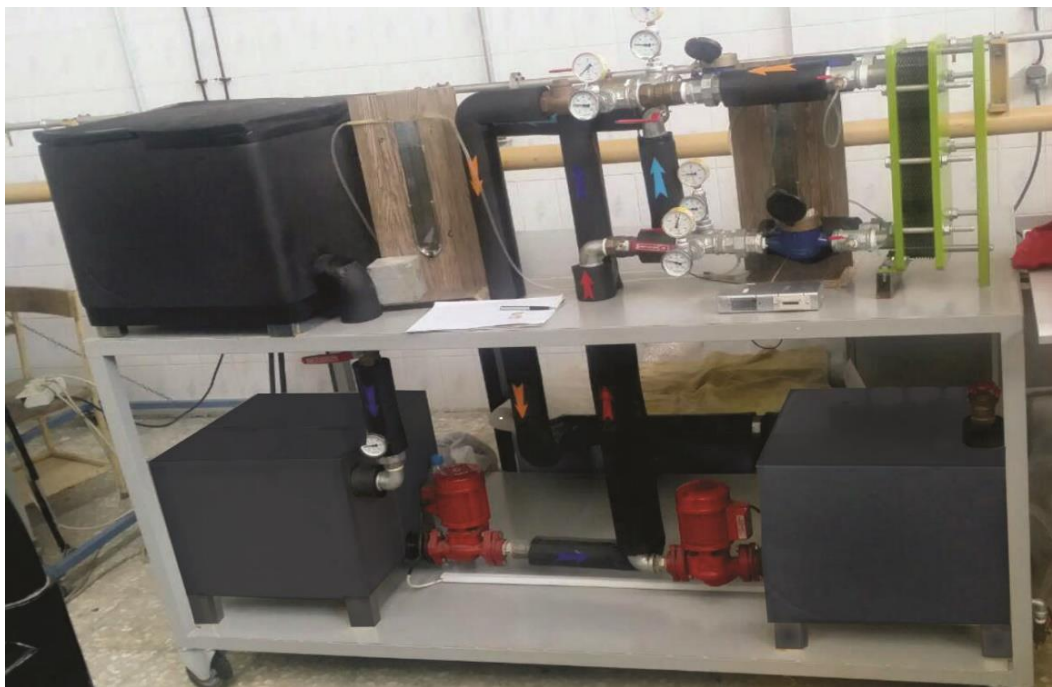
دوربین، تصاویر از داخل نمونه‌ها در بزرگنمایی بالا و توان تفکیک بالا ثبت می‌شود. در روش بررسی ساختار با میکروسکوپ الکترونی عبوری، مناسب‌ترین نوع نمونه، نمونه‌ای خیلی نازک است که الکترون قادر به عبور از آن باشد. در این راستا قدرت عبور الکترون از نمونه به ولتاژ شتاب‌دهنده پرتوهای الکترونی و نیز چگالی و عدد اتمی نمونه بستگی دارد. به طور کلی آماده‌سازی نمونه‌های میکروسکوپ الکترونی عبوری، مشتمل بر دو مرحله آماده‌سازی اولیه و نازک کردن نهایی است. برای نازک کردن نمونه‌های میکروسکوپ الکترونی عبوری، از روش‌های متفاوتی همچون بمباران یونی نمونه یا غوطه‌ورسازی در یک محلول خورنده استفاده می‌شود. پس از عملیات آماده‌سازی، معمولاً نمونه‌ها روی یک توری فلزی کوچک با قطر چند میلی‌متر (۳ میلی‌متر) ریخته شده و سپس درون میکروسکوپ قرار داده می‌شود. معمولاً می‌توان در عکس‌های مربوط به نانولوله‌های کربنی، نقض‌های موجود بر روی سطح، کاهش یا افزایش قطر، کوتاه شدن طول و بریده شدن را بررسی کرد.

در شکل ۳، تصاویر بدست‌آمده از میکروسکوپ الکترونی عبوری مرتبط با نانوصفحه‌های گرافن آمده است که دارای مقیاس ۲۰ نانومتر است و به راحتی سایز نانوصفحه‌های گرافن خام خالص، به دست می‌آید.



شکل ۴. طرحواره دستگاه آزمایش

Fig. 4. Schematic of experimental setup



شکل ۵. بستر آزمایشگاهی مورد استفاده

Fig. 5. Laboratory setup

می‌شود. سپس برای سایر غلظت‌های نانوسیال آزمایش‌ها تکرار می‌شود. دمای هیتر ۶۰ درجه سانتی‌گراد می‌باشد. دبی نانوسیال نیز ۳–۶ لیتر بر دقیقه است. دمای ورود نانوسیال نیز دمای محیط (۲۴ درجه سانتی‌گراد) است.

در ابتدا بستر آزمایشگاهی با سیال آب-آب آزمایش می‌شود و سپس با نانوسیال‌های تهیه شده آزمایش‌ها ادامه می‌یابد. در ابتدا هیتر در دمای مشخص بوده و با تغییر دبی در یک درصد وزنی ثابت مانند ۱٪ آزمایش‌ها انجام

## جدول ۲. مشخصه‌های هندسی تبادل‌گر گرمایی صفحه‌ای برند ام ۳

Table 2. Geometric characteristics of M3 heat exchanger

پارامتر	مقدار
طول صفحه ( $L$ )	۰/۴۲۹ m
عرض صفحه ( $W$ )	۰/۱۲۵ m
فاصله پورت-پورت طولی ( $L_p$ )	۰/۳۵۷ m
فاصله پورت-پورت عرضی ( $L_w$ )	۰/۰۶ m
دهانه ورود و خروج سیال، ( $D_p$ )	۰/۰۳۱ m
ضخامت صفحه‌ها، ( $t$ )	۰/۰۰۰۵ m
گام صفحه	۰/۰۰۳ m
زاویه صفحه (مدل M)	۴۵°

رابطه ژوان-روتلز، معادله ماکسول اصلاحی و رابطه بچلو برای نانوسیال و سیال گرم (آب دیونیزه) محاسبه می‌گردد [۱۳ و ۱۵ و ۲۱]. به کمک دبی‌های ثبت شده و خواص ترموفیزیکی، سرعت جرمی در کanal، در دهانه ورود و خروج، عدد رینولدز، عدد پرانتل به ترتیب از رابطه (۱) تا (۴)، محاسبه می‌شوند. برای تبدیل کسر حجمی و وزنی از رابطه (۵) و عدد ناسلت از رابطه (۶) استفاده شد. ضریب انتقال حرارت جابجایی از رابطه (۷) و ضریب کلی انتقال حرارت از رابطه (۸) محاسبه می‌شوند. با به دست آوردن ضریب اصطکاک، افت فشار برای کanal و ورودی‌ها به ترتیب از رابطه (۹) تا (۱۱) به دست می‌آید. افت فشار کل مجموع، دو افت فشار کanal و ورودی است و از رابطه (۱۲) محاسبه می‌گردد [۱۶ و ۱۸ و ۲۲ و ۲۳].

$$G_c = \frac{\dot{m}}{N_{cp} \times b \times L_w} \quad (1)$$

$$G_p = \frac{\dot{m}}{\left( \frac{\pi D_p^2}{4} \right)} \quad (2)$$

۱-تبادل‌گر گرمایی صفحه‌ای (مدل ام ۳، برند ثنا مبدل با زاویه شورون ۴۵ درجه)، ۲-قسمت سرمایش (منبع سرمایش ثانویه، توان ۱/۵ اسب بخار +، حاوی گاز R۴۰۴)، ۳-منبع ذخیره گرم (۱۲۵ لیتر، جنس استنلس استیل ۳۰۴، مجهز به المنت گرمایی)، ۴-منبع ذخیره سرد (۱۲۵ لیتر، جنس استنلس استیل ۳۰۴)، ۵-پمپ (برند نوید، مدل اس ۱۰۰)، ۶-المنت‌های گرمایی (هیتر)، ۷-شیرهای تنظیم دبی ورود و خروج سیال، ۸-اختلاف فشارسنج جیوه‌ای U شکل، ۹-دبی‌سنچ، ۱۰-شمارنده دبی (کنتور) جهت بررسی دبی، ۱۱-مانومتر (برند پکنر، ۱۶۰ میلی‌بار، ۴ عدد)، ۱۲-ترمومتر (برند پکنر، ۱۲۰ درجه سانتی‌گراد، ۵ عدد)، ۱۳-دریچه برداشت نمونه و تخلیه سیال، ۱۴-چرخ، ۱۵-شیر اطمینان فشار.

جدول ۲ پارامترهای هندسی تبادل‌گر گرمایی صفحه‌ای مورد استفاده را نشان می‌دهد. تبادل‌گر گرمایی صفحه‌ای دارای جربان معکوس تک گذر و دارای فریم U شکل است (تمام ورود و خروج‌های سیال روی فریم جلو است).

به کمک بستر آزمایشگاهی تهیه شده در ورود و خروج تبادل‌گر گرمایی، دما و فشار برای سیال سرد و گرم خوانده شد و دبی حجمی و افت فشار برای دو سیال یادداشت گردید. با توجه به دماهای تبادل شده دو سیال در ورود و خروج تبادل‌گر گرمایی، خواص ترموفیزیکی قابل محاسبه است. از روی دمای میانگین سیال، خواص ترموفیزیکی نظری چگالی، طرفیت گرمای ویژه، ضریب هدایت حرارتی و لزجت سیال به ترتیب به کمک تئوری اختلاط،

جدول ۳ به دست می‌آید. ثابت  $b$  نیز با توجه به این که برای گرمایش سیال یا سرمایش سیال استفاده می‌گردد به ترتیب  $0/0/0$  و  $0/0/3$  انتخاب می‌گردد [۲۴ و ۲۲]. در روابط بالا  $m^*$  نماد دبی حرارتی،  $N_{cp}$  تعداد کانال به ازای هر گذر،  $b$  ضخامت واشر ( $b=p-t$ )، که به کمک جدول ۲ و معادل  $0/0/25$  متر است،  $D_p$  قطر پورت،  $D_h$  قطر هیدرولیکی (که معادل  $\frac{4b}{\varphi}$  است که  $\varphi$  ضریب بزرگ‌شدگی سطح  $(1/078)$  است)،  $w$  کسر جرمی و  $\rho$  کسر حجمی است. همچنین  $N_p$  بیانگر تعداد گذرهای (تک گذر)، LMTD اختلاف دمای لگاریتمی (برای جریان ناهمسو) و  $L_{eff}$  طول مسیر بین دهانه ورودی و خروجی مبدل است ( $0/357$  متر). در تمام روابط  $\rho$  چگالی،  $C_p$  ظرفیت گرمایی ویژه،  $k$  ضریب هدایت حرارتی و  $\mu$  لزجت سیال می‌باشد. به کمک رابطه (۱۳) (راندمان حرارتی (اثربخشی))<sup>۱</sup> یا نسبت انتقال حرارت واقعی به ماکسیمم انتقال محاسبه می‌گردد [۲ و ۲۵]. در این رابطه برای بررسی از رابطه (۱۴) استفاده شده است:

$$\varepsilon = \frac{Q_{actual}}{Q_{max}} = \frac{Q_{ave}}{C_{min}(T_{h,i} - T_{nf,i})} \quad (13)$$

$$C_{min} = \min[(m \times C_{P,nf}), (m \times C_{P,h})] \quad (14)$$

همچنین از آنجا که برای سیال گرم، دبی ثابت است و تنها دبی سیال سرد در حال تغییر است و با توجه به این که قطر لوله‌ها و مسیر لوله یکسان است، می‌توان از رابطه (۱۵) توان پمپ در حالتی که نانوسیال وجود دارد نسبت به حالتی که سیال پایه آب است (بدون نانوسیال) به دست آورد [۶].

$$\left( \frac{W_{nf}}{W_b} \right) = \left( \frac{\mu_{nf}}{\mu_b} \right) \left( \frac{\rho_b}{\rho_{nf}} \right)^2 \quad (15)$$

به کمک رابطه (۱۶) می‌توان کارایی یا عملکرد<sup>۲</sup> را محاسبه کرد. برای این که از لحاظ اقتصادی استفاده از نانوسیال، مقرر یه صرفه باشد، باید نسبت ضریب جابجایی انتقال حرارت به نسبت توان پمپاژ در دو حالت استفاده از نانوسیال و بدون نانوسیال بیشتر از یک باشد [۳].

$$Re = \frac{G_C D_h}{\mu} \quad (16)$$

$$Pr = \frac{C_p \mu}{k} \quad (17)$$

$$\varphi = \frac{w \rho_b}{(w \rho_b) + (1-w) \rho_{np}} \quad (18)$$

$$Nu = C_n Re^n Pr^b \left( \frac{\mu_{bf}}{\mu_b} \right)^{0.14} \quad (19)$$

$$h = \frac{Nu}{k \cdot D_h} \quad (20)$$

$$U = \frac{Q}{A \times LMTD_h} = \left( \frac{1}{h_c} + \frac{1}{h_h} + \frac{t}{k_w} + R_f \right)^{-1} \quad (21)$$

$$f = \frac{K_p}{Re^m} \quad (22)$$

$$\Delta P_c = 4f \left[ \left( \frac{L_{eff}}{D_h} N_p \right) \left( \frac{G_C^2}{2\rho_f} \right) \right] \left( \frac{\mu_b}{\mu_w} \right)^{-0.17} \quad (23)$$

$$\Delta P_p = 1.4N_p \frac{G_p^2}{2\rho} \quad (24)$$

$$\Delta P_t = \Delta P_c + \Delta P_p \quad (25)$$

در روابط بالا ثابت‌های  $K_p$ ,  $C_n$  و  $m$  با توجه به عدد رینولدز از

1 Thermal effectiveness

2 Efficiency

جدول ۳. ثابت‌ها برای محاسبه انتقال گرما و افت فشار یک‌فاز در تبادل‌گر گرمایی صفحه‌ای گسکت دار [۲۲].

Table 3. Constants in heat transfer and pressure drop of a single-phase gasket-plate heat exchanger

افت فشار				انتقال گرما			
<i>m</i>	<i>K<sub>P</sub></i>	<i>Re</i>		<i>n</i>	<i>C<sub>n</sub></i>	<i>Re</i>	زاویه شورون (درجه)
1	۵۰	>10		۰/۳۴۹	۰/۷۱۸	<10	≤۳۰
	۰/۵۸۹	۱۹/۴		۰/۶۶۳	۰/۳۴۸	>10	
	۰/۱۸۳	۲/۹۹		>100			
1	۴۷	<10		۰/۳۴۹	۰/۷۱۸	10	۴۵
	۰/۶۲۵	۱۸/۲۹		۰/۵۵۸	۰/۴۰۰	100-10	
	۰/۲۰۶	۱/۴۴۱		۰/۶۶۳	۰/۳۰۰	>100	
1	۲۴	<40		۰/۳۶۲	۰/۵۶۲	<20	60
	۰/۴۵۷	۳/۲۴		۰/۵۲۹	۰/۳۰۶	400-20	
	۰/۲۱۵	۰/۷۶		۰/۷۰۳	۰/۱۰۸	>400	

$$\% \frac{U_X}{x} = \left[ \left( \frac{U_{X1}}{x1} \right)^2 + \left( \frac{U_{X2}}{x2} \right)^2 + \dots + \left( \frac{U_{Xn}}{xn} \right)^2 \right]^{\frac{1}{2}} \quad (18)$$

$$\eta = \left( \frac{W_{nf}}{W_b} \right) \left( \frac{h_{nf}}{h_b} \right) \quad \eta = \left( \frac{\frac{h_{nf}}{h_b}}{\frac{W_{nf}}{W_b}} \right) \quad (16)$$

در رابطه (۱۷)، ثابت *n* تعداد اندازه‌گیری‌ها و  $\bar{x}$  مقدار میانگین آزمایش است. برای عدم قطعیت<sup>۲</sup> آزمایش‌ها، نیز از رابطه کلاین و مک کلانتاک<sup>۳</sup> استفاده شد (رابطه (۱۹)) که در آن  $W_{Xn}$  محدوده خطای اندازه‌گیری پارامتر  $X_n$  است [۲ و ۲۶]. نتایج حاکی از آن دارد که عدم قطعیت کارایی تبادل‌گر گرمایی نیز کمتر از ۱۰ درصد است.

$$W_x = \left( \left( \frac{\partial x}{\partial x_1} w_{x1} \right)^2 + \left( \frac{\partial x}{\partial x_2} w_{x2} \right)^2 + \dots + \left( \frac{\partial x}{\partial x_n} w_{xn} \right)^2 \right)^{\frac{1}{2}} \quad (19)$$

برای بررسی خطا، به این دلیل که در تکرار آزمایش، از مقدار میانگین استفاده می‌شود و انحراف از مقدار میانگین ممکن است گاهی مثبت، منفی و گاهی متوسط آن‌ها برابر صفر گردد، از اختلاف معیار استفاده می‌گردد. ولی متداول است که از انحراف معیار که مجدد اختلاف معیار است، طبق رابطه (۱۷) استفاده گردد. برای محاسبه خطای دستگاهی نیز از رابطه بکویت<sup>۱</sup> برطبق رابطه (۱۸) استفاده شد.

$$\sigma = \left( \frac{\sum (x - \bar{x})^2}{n} \right)^{\frac{1}{2}} \quad (17)$$

به کمک رابطه‌های (۱۷) تا (۱۹) برای این آزمایش، عدم قطعیت وسایل، تکرار آزمایش و نتایج در جدول‌های ۴ و ۵ خلاصه شده است.

2 Uncertainty

3 Kline and McClintock

1 Bechwith

#### جدول ۴. عدم قطعیت وسیله و تکرار آزمایش

Table 4. Device uncertainty and test repetition

پارامترها	(٪) عدم قطعیت تکرار	(٪) عدم قطعیت وسیله
دماهی ورودی نانوسیال (°C)	۲/۵۷	۱/۱۸
دماهی خروجی نانوسیال (°C)	۱/۶۲	۲/۰۷
دماهی آب ورودی (°C)	۵/۸۹	۴/۱۶
دماهی آب خروجی (°C)	۲/۰۶	۲/۰۲
دبی نانوسیال (lit/s)	۳/۹۷	۰/۲۳ s = زمان
اختلاف فشار سمت نانوسیال (kPa)	۳/۵۶	۱/۴۲ lit = حجم سیال
۲/۴۰		

#### جدول ۵. عدم قطعیت مربوط به نتایج آزمایش

Table 5. Uncertainty of test results

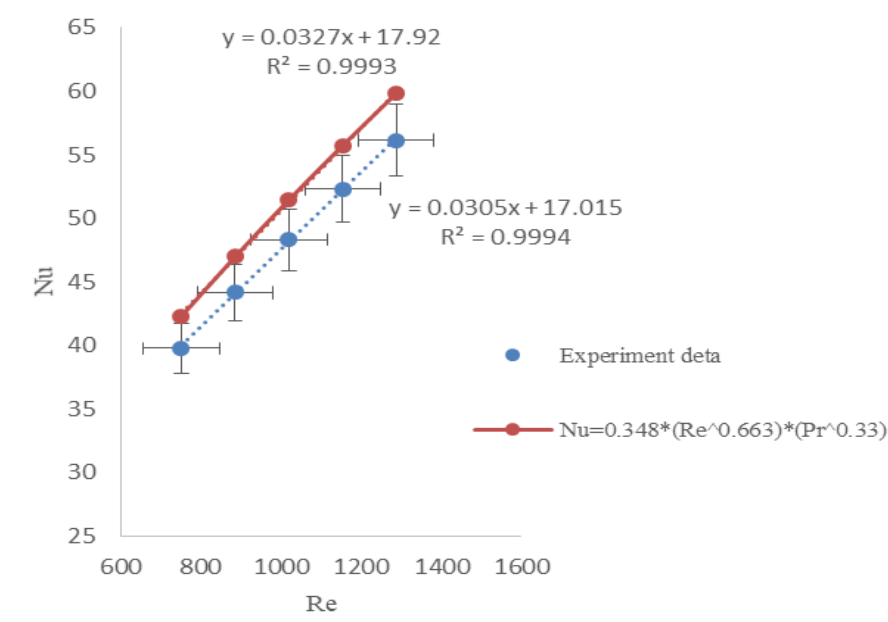
نتایج	(٪) عدم قطعیت
عدد ناسلت	۴/۵۹
ضریب جابجایی انتقال حرارت	۶/۷۸
ضریب اصطکاک	۴/۹۸

### ۳- نتایج و بحث

گردد. همچنین برای صحت نتایج، مجموع مربعات خطأ و نوار خطأ، روی نمودار شکل ۶ رسم گردید. در شکل ۶ نتایج به دست آمده از منحنی‌های ناسلت بر حسب رینولدز برای سیال آب-آب رسم شده است. با مقایسه نتایج با معادله تجربی تایوار [۲۵] مشخص گردید که تقاضوت موجود مربوط به زاویه شورون و فاصله بین صفحات است که کاکاک [۲۲] نیز دلیل مشابه برای این اختلاف از رابطه تئوری، برای زاویه‌های مختلف با توجه به محدوده رینولدز بیان نموده است. در این تحقیق زاویه شورون صفحات ۴۵ درجه و عدد رینولدز بیشتر از ۱۰۰ است، درنتیجه رابطه ناسلت و ضریب اصطکاک به کمک جدول ۲ و روابط (۶) و (۹) به دست می‌آیند. با توجه به نتایج بدست آمده، معادله پیشنهادی برای ناسلت به صورت  $Nu=0.3 \cdot Re^{0.663} \cdot Pr^{0.3} \left( \frac{\mu_{nf}}{\mu_b} \right)^{0.14}$  است.

1 Error bar

در مطالعه حاضر از نانوسیال حاوی نانو صفحات گرافن در غلظت‌های ۱۴۵/۰-۰/۱۰ درصد وزنی استفاده گردید. دبی سیال گرم ۵ لیتر بر دقیقه است. برای آزمایش بستر آزمایشگاهی، ابتدا برای سیال‌های آب-آب آزمایش‌ها انجام گردید و سپس برای نانوسیال-آب، آزمایش‌ها انجام شد. با مقایسه نتایج به دست آمده از نمودار ناسلت بر حسب رینولدز برای سیال آب با نتایج کاکاک و تایوار [۲۲ و ۲۵] و همچنین با مقایسه نتایج اختلاف فشارسنج‌ها و مانومتر U شکل و نتایج روابط (۶) و (۷)، می‌توان صحت آزمایش‌ها را تأیید نمود که در شکل ۶ آمده است. برای کمتر شدن خطای آزمایش‌ها، تمام گیج‌ها کالیبره شده‌اند و از عایق الاستومری (با رعایت شعاع بحرانی لوله) برای جلوگیری از اتلاف حرارت استفاده شد. تست‌های هیدرولیک و اسیدشوبی تبادل‌گر گرمایی نیز انجام گردید و تمام آزمایش‌ها با ۴ مرتبه تکرار صورت پذیرفت تا خواص ترموفیزیکی با دقت بیشتر حاصل



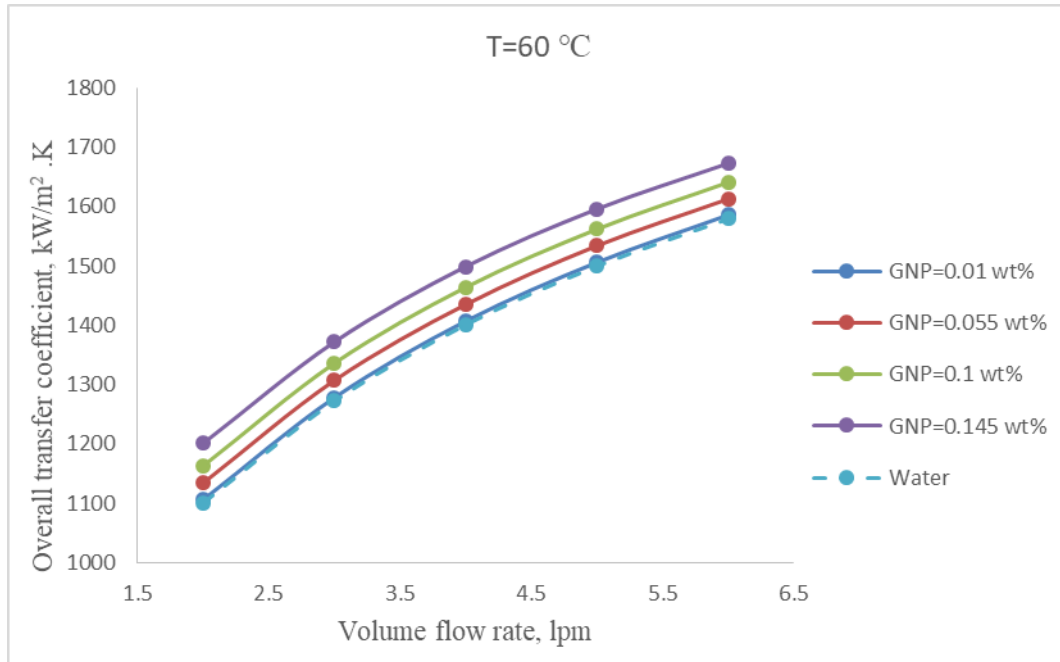
شکل ۶. مقایسه نتایج به دست آمده برای تبادل گر گرمایی با زاویه شورون ۴۵ درجه با روابط تئوری برای سیال پایه آب [۲۵].

**Fig. 6. Comparison of experimental results of 45° chevron angle heat exchanger with theoretical equations for water-based fluid**

متاسب خواهد شد. درنتیجه در یک دبی مشخص (رینولز مشخص)، بیشتر کردن کسر نانوذره‌ها به سیال پایه، باعث بهبود دو ضریب انتقال حرارت به شکل هدایت و جابجایی می‌شود، درنتیجه ضریب کلی انتقال حرارت بیشتر می‌شود. به طور کلی می‌توان افزایش ضریب انتقال حرارت را به چند عامل نسبت داد: ۱- بیشترشدن ضریب هدایت حرارتی، ۲- اضافه کردن نانوذره‌ها به سیال پایه، که باعث تولید کلاستر (خوش) در سیال شده و به تبع آن مقاومت حرارتی کمتر می‌شود، درنتیجه ضریب انتقال حرارت بیشتر می‌شود (گاهی خوش‌های شدن، یک مسیر مناسب برای بیشترشدن سرعت انتقال بین سیال ایجاد می‌کند، البته، مقادیر بالای خوش در سیال، باعث رسوب بیشتر می‌گردد که نامناسب است) ۳- برخورد تصادفی نانوذره‌ها به همدیگر و تفاوت سرعت نانوذره‌ها و سیال پایه نیز، به بیشترشدن انتقال حرارت کمک می‌کند، زیرا اگر ذرات به صورت موازی با جهت جريان حرکت کنند، باعث کم شدن انتقال حرارت می‌شوند. البته میزان این بیشترشدن انتقال حرارت، بسته به سایز و نوع ذره، نسبت سطح به حجم، نوع روش ساخت ذره، می‌تواند تغییر کند. امیری و همکاران [۴] و گودرزی و همکاران [۲۷] دلایل مشابه را بیان نمودند.

برای مشخص شدن اثر غلظت بر انتقال حرارت و افت فشار، از نانوسیال با درصدهای وزنی ۰/۰۱، ۰/۰۵۵ و ۰/۱۴۵ استفاده گردید. شکل ۷ اثر دبی نانوسیال بر ضریب کلی انتقال حرارت نانوسیال در درصد وزنی‌های بیان شده، بررسی شده است.

نتایج نشان دادند که افزایش درصد وزنی از ۰/۰۱ درصد وزنی به ۰/۱۴۵ درصد وزنی باعث بیشترشدن ضریب کلی انتقال حرارت می‌شود (در دبی ۲ لیتر بر دقیقه، بیشترشدن درصد وزنی باعث ۸/۵۱٪ ضریب کلی انتقال حرارت بیشتر گردد و برای دبی ۶ لیتر بر دقیقه این میزان به ۵/۵۳٪ است). همچنین مشاهده گردید در تمام دبی‌ها نانوسیال نسبت به سیال پایه، ضریب کلی انتقال حرارت بیشتر است و با بیشترشدن دبی در یک غلظت مشخص، این میزان بیشتر نیز می‌گردد. دلیل را می‌توان به، اضافه کردن نانوذره به سیال پایه که باعث بیشترشدن رسانایی سیال می‌شود نسبت داد. به عبارت دیگر بیشترشدن غلظت، باعث می‌شود که برخوردهای بین مولکولی بیشتر صورت بگیرد درنتیجه عدد رینولدز (یا پکلت) و ضریب انتقال حرارت به شکل جابجایی بیشتر شود. شاید بتوان افزایش ضریب انتقال حرارت به شکل جابجایی را به افزایش  $k / \delta t$  نسبت داد [۲۷]. اگر تغییر دما در لایه مرزی حرارتی، خطی فرض شود، درنتیجه رسانایی گرمایی با ضریب انتقال حرارت،



شکل ۷. اثر دبی سیال بر ضریب کلی انتقال حرارت در غلظت‌های متفاوت

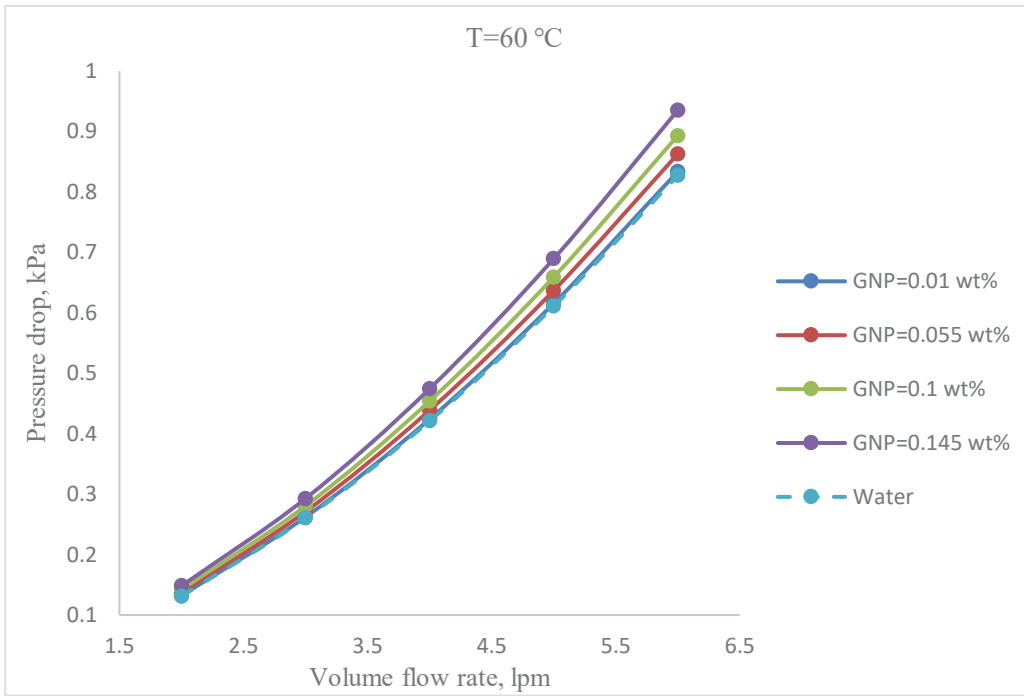
**Fig. 7. Effect of flow rate on overall heat transfer coefficient at different concentrations**

غلظت به بیشترشدن ضریب اصطکاک می‌انجامد، درنتیجه افت فشار هم در لوله و هم در کانال‌های جریان تبادل گر گرمایی بیشتر شده و این به معنای بیشترشدن افت فشار کل است. همچنین دلیل این زیادشدن افت فشار را می‌توان به بیشترشدن لزجت نسبت داد. بیشترشدن غلظت، باعث بیشترشدن لزجت می‌گردد درنتیجه افت فشار نیز زیاد می‌شود. با بیشترشدن دبی نانوسیال (لزجت بیشتر شده)، برخوردهای بین‌مولکولی بیشتر می‌گردد که نتیجه آن بیشترشدن سرعت جرمی در کانال و دهانه ورودی و همچنین عدد رینولدز است که بهتیغ آن افت فشار بیشتر می‌گردد (رابطه‌های (۱۰) و (۱۱)).

با توجه به شکل‌های ۷ و ۸ مشخص گردید که افزایش غلظت، هم‌زمان باعث بیشترشدن ضریب کلی انتقال حرارت (اثر مثبت) و افت فشار می‌گردد (اثر منفی) درنتیجه برای یافتن شرایط مطلوب و بهینه، نمودارهای راندمان حرارتی نانوسیال و کارایی تبادل گر گرمایی بررسی گردید. از شکل ۹ مشخص است که افزایش غلظت باعث بهبود راندمان حرارتی نانوسیال می‌گردد (۵/۹۴٪ در دبی ثابت ۲ لیتر بر دقیقه)، که می‌توان علت آن را به بیشترشدن دبی جرمی سیال در یک دمای مشخص و کاهش مخرج رابطه (۱۳) نسبت داد. با بیشترشدن دبی در یک غلظت ثابت، این میزان

شکل ۸ اثر دبی سیال بر میزان افت فشار سیال بررسی شده است، زیرا ممکن است بیشترشدن غلظت باعث بهبود انتقال حرارت گردد ولی افت فشار در تبادل گر گرمایی را بسیار بالا ببرد که باعث افزایش هزینه گردد (رسوب‌گذاری بیشتر یا تعییر پمپ)، درنتیجه بررسی میزان افت فشار هم بسیار مهم است.

از نتایج مشخص است که استفاده از نانوسیال در غلظت‌های بالاتر، باعث بیشترشدن افت فشار می‌گردد. البته این افزایش در دبی‌های پایین، بسیار نزدیک به سیال پایه است (در درصد وزنی ۰/۰۱ و برای دبی ۲ لیتر بر دقیقه، میزان افت فشار برای نانوسیال و سیال پایه به ترتیب ۰/۱۳۲۲ و ۰/۱۳۱۲ کیلوپاسکال است). همچنین استفاده از نانوسیال در دبی‌های بالاتر باعث بیشترشدن افت فشار نانوسیال می‌گردد، زیرا نانوذره بیشتری به سیال پایه اضافه شده است که افت فشار را بالا می‌برد. در تمام غلظت‌های بیان شده، افت فشار بیشتر از سیال پایه است، البته در درصد وزنی ۰/۰۱ این اختلاف ناچیز است به عنوان نمونه در دبی ۲ لیتر بر دقیقه، این اختلاف ۰/۷۶٪ است. در دبی ۲ لیتر بر دقیقه و درصد وزنی ۰/۰۱، کمترین افت فشار مشاهده می‌شود (۰/۱۳۱۲ کیلوپاسکال). بیشترشدن غلظت با بالا رفتن نرخ جریان ورودی در دهانه همراه است. از طرفی در یک دبی ثابت، بیشترشدن



شکل ۸. اثر دبی سیال بر افت فشار سیال در غلظت‌های متفاوت

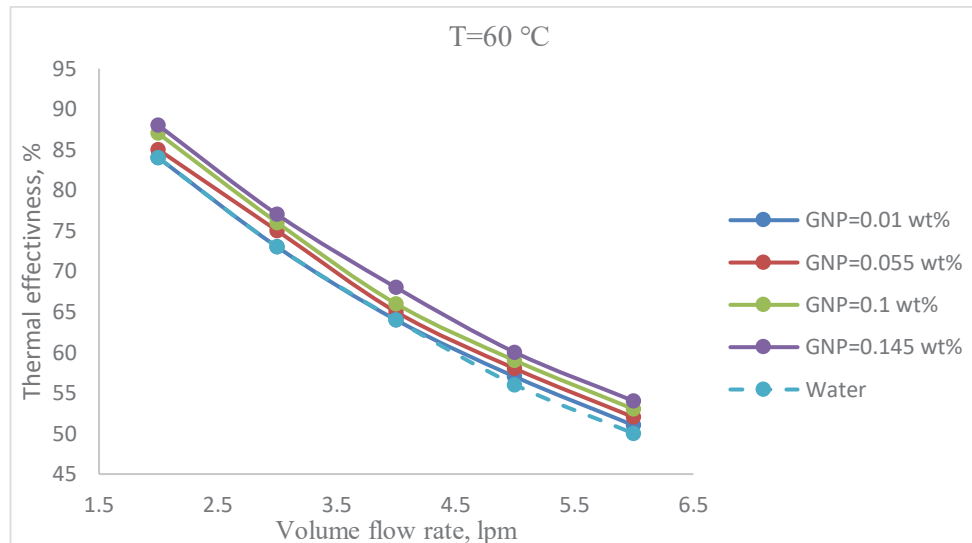
Fig. 8. Effect of flow rate on pressure drop at different concentrations

پایه و بیشترشدن اثر لرجه نسبت به ضریب هدایت حرارتی، در غلظت‌های بالا عنوان نمود که به کمتر شدن کارایی می‌انجامد. بیشترین کارایی تبادل گرمایی زمانی است که دبی نانوسیال کمترین میزان و غلظت آن بیشینه باشد (در دبی ۲ لیتر بر دقیقه و درصد وزنی ۰/۱۴۵ کارایی بیشینه برابر با ۱/۲۲۴ است). همچنین مشاهده می‌گردد در تمام غلظت‌ها با توجه به رابطه (۱۶)، این میزان بیشتر از یک است که نشان می‌دهد، استفاده از نانوسیال مناسب است و از لحاظ اقتصادی توجیه پذیر است.

با بررسی شکل‌های ۵ و ۶ مشخص گردید که بیشترشدن دبی و غلظت، باعث بیشترشدن هم‌زمان ضریب کلی انتقال حرارت و افت فشار می‌شود (یک اثر مثبت و یک اثر منفی)، درنتیجه برای بررسی اثربخشی هریک در شرایط بهینه (بالا بردن راندمان حرارتی)، به کمک نرمافزار کووالایتک<sup>®</sup> که از روش تاگوچی کمک می‌گیرد، استفاده گردید [۲۸ و ۲۹]. در طراحی تاگوچی به عوامل ثابت، فاکتورهای مؤثر بر میزان پاسخ و به تغییرات که می‌توان در فاکتورها اعمال کرد، سطوح گویند. بعد از انتخاب فاکتور و سطوح و شرایط مطلوب آزمایش (بسته به کاربرد از میان افزایش انتقال حرارت، کاهش افت

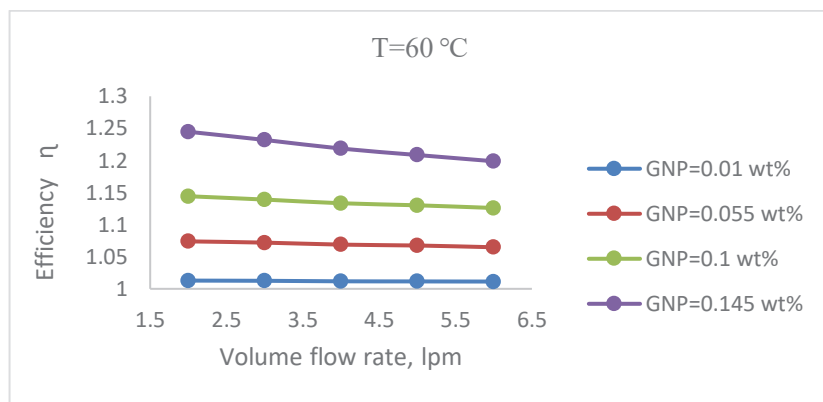
به‌شدت کم می‌گردد. همچنین می‌توان به بالا رفتن برخوردهای بین‌مولکولی و رسوب‌گذاری بیشتر دلیل آن را نسبت داد. بعلاوه در تمام دبی‌ها، راندمان حرارتی نانوسیال بیشتر از سیال پایه است و این میزان با بیشترشدن درصد وزنی نانوسیال نیز تقویت می‌شود. در یک دمای ثابت (۶۰ درجه سانتی‌گراد) و دبی مشخص، افزایش غلظت نسبت به سیال پایه باعث کاهش گرمایی ویژه سیال می‌گردد (در دبی ثابت ۲ لیتر بر دقیقه، میزان گرمایی ویژه نانوسیال برای درصد وزنی ۰/۰۱ و ۰/۱۴۵، به ترتیب ۴۱۳۹ و ۳۶۱۲ ژول بر کیلوگرم در کلوین است). بیشترین راندمان حرارتی (۸۹٪) مربوط به نانوسیال در درصد وزنی ۰/۱۴۵ است.

شکل ۱۰ اثر دبی نانوسیال بر کارایی تبادل گرمایی، در غلظت‌های متفاوت را نشان می‌دهد. دیده می‌شود، بیشترشدن غلظت، به بالاتر رفتن کارایی تبادل گرمایی می‌انجامد. همچنین با افزایش دبی نانوسیال این میزان کمتر می‌شود، البته بسته به درصد وزنی متفاوت نانوسیال این شبیه رشد، متفاوت است (افزایش دبی از ۲ به ۶ لیتر بر دقیقه در درصد وزنی ۰/۰۱ باعث کمتر شدن ۰/۱۴٪ کارایی می‌گردد ولی این میزان در درصد وزنی ۰/۱۴۵ ۳/۸۴٪ است) که می‌توان دلیل را از مقایسه نسبت نانوسیال به سیال



شکل ۹. اثر غلظت بر راندمان حرارتی نانوسیال در دبی‌های متفاوت

**Fig. 9. Effect of concentration on thermal effectiveness of nanofluid in different flow rates**



شکل ۱۰. اثر دبی نانوسیال بر کارایی در غلظت‌های متفاوت

**Fig. 10. Effect of nanofluid flow rate on efficiency at different concentrations**

اغتشاش در آزمایش ( $N$ ). در مرحله بعد می‌توان با انتخاب آنوا، مجموع مربعات خطأ، درجه آزادی  $\chi^2$  (بتعاد سطح، منهای یک)، واریانس (تقسیم مجموع مربعات خطأ بر درجه آزادی)، ضریب فیشر (واریانس هر فاکتور تقسیم بر واریانس خطأ) و درصد سهم هر فاکتور (شرکت‌پذیری) را مشاهده کرد. ضریب فیشر بیان گر معنادار بودن اثر فاکتورها است. هرچه درصد سهم بیشتر باشد، بیان گر تغییر راحت‌تر آن فاکتور در آن سطح موردنظر بر نتایج

1 ANOVA

2 DOF

فشار، افزایش راندمان نانوسیال و یا افزایش عملکرد مبدل، طراحی آزمایش مشخص می‌کند، که کدام سطح از هر فاکتور، برای آزمایش‌ها مطلوب است. همچنین نرمافزار، نمودارهایی در اختیار قرار می‌دهد که از روی آن به راحتی مجددًا اثر سطوح و فاکتورها بر نتیجه و اثربخشی هریک با توجه به شبیه نمودارها، مشخص می‌گردد. در قسمت آنالیز نرمافزار، می‌توان با انتخاب گزینه در نرمافزار S/N Analysis میزان پراکندگی پاسخ‌ها را بررسی کرد. منظور از سیگنال مؤلفه نشانه و مطلوب است (S) و منظور از نویز مؤلفه

## جدول ۶. فاکتور و سطوح انتخابی برای تحلیل تاگوچی

**Table 6. Factors and levels in Taguchi analysis**

سطوح			فاکتورها	پارامترها
۳	۲	۱	غلظت (wt.%)	<i>A</i>
۰/۱۴۵	۰/۱	۰/۰۱		
۶	۴	۲	تغییر دبی (lpm)	<i>B</i>

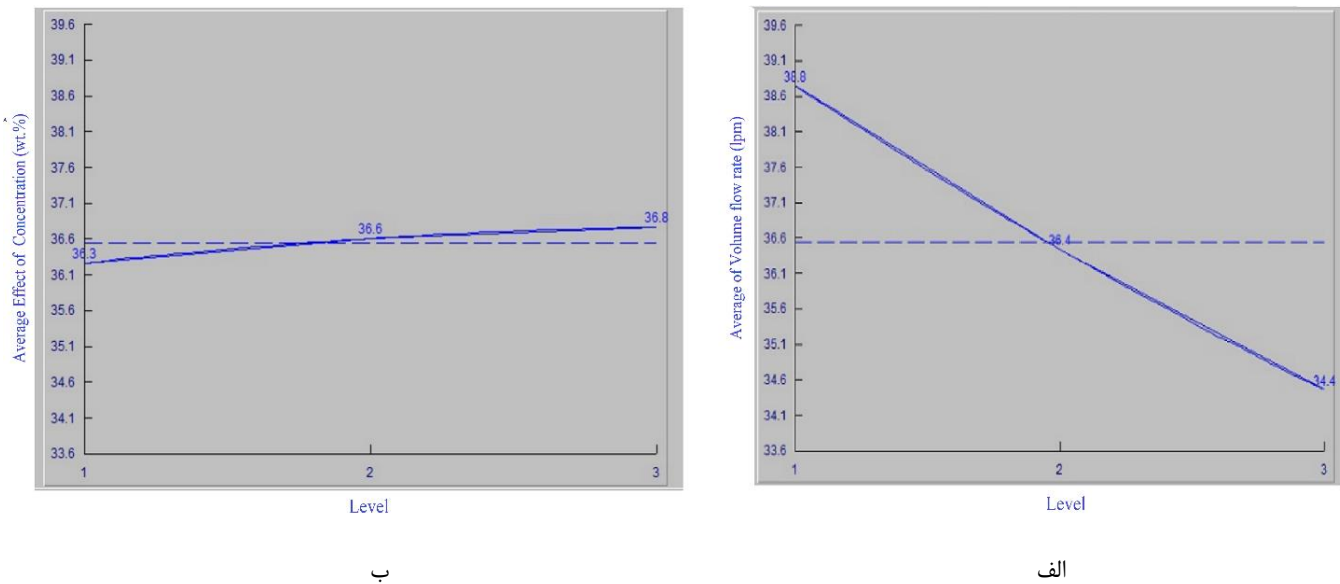
مطلوب، دبی نانوسیال باید کمتر شود در حالی که از شکل ۱۱-ب مشخص است که غلظت نانوسیال بهتر است که بیشتر گردد تا راندمان حرارتی بیشینه شود. همچنین مشخص است که شیب نمودار دبی نانوسیال بیشتر از غلظت است، یا به عبارت دیگر برای رسیدن به شرایط مطلوب، کم شدن دبی نانوسیال اثر بیشتری در نتایج راندمان حرارتی دارد. به عبارت ساده برای داشتن بالاترین راندمان حرارتی، دبی نانوسیال ۲ لیتر بر دقیقه و درصد وزنی نانوسیال ۰/۱۴۵ باید باشد. این نتیجه نیز قبل تر در شکل ۱۱ مشاهده شد که تأییدی بر نتایج آزمایش است. برای پیدا کردن اثر هر فاکتور در شرایط بهینه، آنالیز سیگنال به نویز نیز انجام شد که نتایج در جدول ۷ آمده است. از نتایج جدول مشخص می‌گردد که اثر تغییر دبی نانوسیال (اشتراک‌پذیری برابر با ۹۸/۵۶۶٪) بسیار بیشتر از تغییر درصد وزنی نانوسیال (۰/۴۰۴٪) در راندمان حرارتی نانوسیال است. به این معنا که با تغییر دبی نانوسیال راحت‌تر می‌توان به راندمان بالا و مطلوب رسید. این نتایج با بررسی ستون مربوط به اعداد درصد سهم و ضریب فیشر نیز مشاهده می‌گردد. در این آنالیز ۳ سطح در نظر گرفته شده است، درنتیجه درجه آزادی ۲ به دست آمده است. همچنین مشخص گردید که درصد خطا نیز کمتر از ۱۰ درصد است (۰/۰۱۸٪) که با انجام تست تأییدیه، بار دیگر صحت نتایج را نشان می‌دهد. از جدول ۷ مشخص گردید که مطلوب‌ترین حالت در سطح سوم از فاکتور اول (۰/۱۴۵ درصد وزنی) و سطح اول از فاکتور دوم (۲ لیتر بر دقیقه) مشاهده خواهد شد (البته با مشخص کردن میزان درصد اشتراک هریک) که قبل تر نیز این شرایط مطلوب را در شکل‌های ۷ و ۸ مشاهده شده بود که بار دیگر دقت آزمایش‌ها را نشان می‌دهد.

است. درصد سهم خطا باید همیشه کمتر از ۱۰٪ باشد تا آنالیز مورد تائید باشد. در انتهای طراحی آزمایش، یک شرایط آزمایش پیشنهاد می‌کند (سطوح و فاکتور مناسب) که شرایط مطلوب نتایج است و نیاز است که در آن حالت، تست تأییدیه گرفته شود. در این پژوهش، اثر درصد وزنی و دبی نانوسیال به عنوان ۲ فاکتور طراحی آنالیز آماری روش تاگوچی، انتخاب گردید. برای هر کدام از فاکتورها، ۳ سطح تعییر انتخاب گردید (به عنوان مثال برای فاکتور غلظت، سطوح ۰/۰۱ و ۰/۱۴۵ انتخاب گردید). جدول ۶ فاکتورها و سطوح انتخابی را نشان می‌دهد.

در جدول ۶ پارامترهای A و B بیان کننده فاکتورهای مورد بررسی می‌باشند که به ترتیب غلظت و دبی نانوسیال است. شکل ۱۱ نتایج به دست آمده از نرمافزار است. کوالیتک نسبت سیگنال به نویز نتایج را بررسی می‌کند (نتایج مثبت به نتایج منفی). از روی نتایج می‌توان فهمید که چه فاکتوری و در چه سطحی نتیجه مطلوب‌تری را به دنبال دارد. به این دلیل که هدف اولیه بیشترشدن راندمان حرارتی نانوسیال است، در نرمافزار حالت شرایط بیشتر، مطلوب است، انتخاب گردید که نشان می‌دهد، هرچه راندمان حرارتی بیشتر باشد نتیجه مطلوب‌تر است. در شکل ۱۱ هرچه عدد ستون‌ها (نسبت سیگنال به نویز) بیشتر باشد (با توجه به انتخاب شرایط بیشتر توسط ما)، نتیجه بهتر است. اعداد مربوط به ردیف‌ها در شکل ۱۱، نشان‌دهنده ۳ سطح مورد آنالیز برای هر فاکتور می‌باشد.

شکل ۱۱ نشان می‌دهد برای رسیدن به راندمان حرارتی بالاتر نانوسیال، اثر درصد وزنی کمتر از اثر دبی نانوسیال است (از روی شیب نمودار). همچنین از شکل ۱۱-الف مشخص است که برای رسیدن به یک راندمان حرارتی

1 Bigger the better



شکل ۱۱. نتیجه به دست آمده از تحلیل تاگوچی نرم افزار کوالایتک؛ الف- اثر دبی نانوسیال، ب- اثر درصد وزنی نانوسیال

Fig. 11. Taguchi analysis of Qualitek-4 for nanofluid effects on a-flow rate, b-weight percentage

#### جدول ۷. نتایج به دست آمده از نرم افزار Qualitek-4

Table 7. Results from Qualitek-4 software

ستون	فاکتور	درجه آزادی	مجموع مربعات	واریانس (V)	ضریب فیشر (F)	درصد سهم هر فاکتور (%)	ردیف
۱	درصد وزنی نانوسیال	۲	۰/۴۰۵	۰/۲۰۲	۳۲۴/۱۴۶	۰/۴۰۴	۳
۲	دبی حجمی نانوسیال	۲	۲۸/۱۵۱	۱۴/۰۷۵	۲۲۴۹۳/۸۴۲	۲۸/۱۵	۱
۳	خطابدگر	۰	۰/۰۰۲	۰	۰/۰۱۸	۹۸/۵۶۶	
۴	مجموع		۲۸/۵۵۹			۱۰۰٪	

## ۴- نتیجه‌گیری

ضریب انتقال حرارت به شکل هدایت، $\text{W}/\text{m.K}$	$k$
فاصله مرکز تا مرکز طولی، $\text{m}$	$L_p$
فاصله مرکز تا مرکز عرضی، $\text{m}$	$L_w$
تعداد پاس‌ها یا گذرهای صفحه‌های تبادل‌گر گرمایی	$N_p$
تعداد کanal به ازای هر گذر	$N_{cp}$
عدد ناسلت	$Nu$
تبادل‌گر گرمایی صفحه‌ای (واشردار)	$PHE$
عدد پرانتل	$Pr$
عدد رینولدز	$Re$
نانولوله کربنی چند جداره	$MWCNT$
غلظت جرمی	$W$
قدرت پمپ	$W$
علائم یونانی	
غلظت حجمی	$\varphi$
چگالی، $\text{kg}/\text{m}^3$	$\rho$
لزجت، $\text{cP}$	$\mu$
زیرنویس	
سیال پایه (آب)	$b$
سیال سرد	$c$
شرايط پاك و تميز	$cl$
شرايط كثيف و رسوب گرفته (يا فولينگ)	$f$
سیال گرم	$h$
ورودی لوله	$i$
نانوسیال	$nf$
نانوذره	$np$
خروجي لوله	$o$
سیال آب	$w$

در کار حاضر، نانوصفحه‌های گرافن در سیال پایه آب در غلظت‌های  $0.145/\text{kg}$  درصد وزنی به کمک فعال کننده سطحی سدیم دودسیل سولفات پایدار گردید. نسبت فعال کننده سطحی بهینه به نانوذره‌ها ۱-۱ است. جهت بررسی ضریب انتقال حرارت و افت فشار نانوسیال، سیال گرم (آب دیونیزه) در دمای ثابت  $60^\circ\text{C}$  درجه سانتی‌گراد و دبی ثابت (۵ لیتر بر دقیقه)، در تماس با نانوسیال در دبی‌های  $2-6$  لیتر بر دقیقه و در دو طرف تبادل‌گر حرارتی صفحه‌ای واشردار، قرار گرفت. نتایج آزمایشگاهی نشان داد که استفاده از نانوسیال نسبت به سیال پایه آب (دبی ثابت ۲ لیتر بر دقیقه) باعث بیشترشدن همزمان ضریب کلی انتقال حرارت ( $9.17\%$ ، نتیجه مطلوب) و افت فشار ( $13.1\%$ ، نتیجه نامطلوب) می‌گردد. درنتیجه نمودارهای راندمان حرارتی و کارایی تبادل‌گر گرمایی نیز مورد ارزیابی قرار گرفت و مشخص شد که استفاده از نانوسیال به خصوص در غلظت‌های بالا باعث بالا رفتن هر دو عامل راندمان حرارتی (در دبی حجمی  $2$  لیتر بر دقیقه این میزان  $5.95\%$  و در دبی حجمی  $6$  لیتر بر دقیقه این میزان به  $0.8\%$ ) و کارایی تبادل‌گر گرمایی می‌گردد ( $3.84\%$  در دبی حداقل نانوسیال در  $2$  لیتر بر دقیقه). که هر دو اثر مثبت به شمار می‌آیند. همچنین به کمک روش تاگوچی شرایط مطلوب ارزیابی شد و مشخص شد که اثر دبی نانوسیال (کم شدن)، از اثر غلظت نانوسیال برای رسیدن به شرایط مطلوب مؤثرتر است. در شرایط مطلوب (دبی حجمی  $2$  لیتر بر دقیقه و درصد وزنی  $0.145$ ) ضریب کلی انتقال حرارت  $1262$  وات بر مجذور متر در کلوین، افت فشار  $0.148$  کیلوپاسکال، راندمان حرارتی  $89\%$  و کارایی تبادل‌گر گرمایی  $1244$  به دست آمد.

## ۵- فهرست علائم

## منابع

- [1] A. Naddaf, S.Z. Heris, Experimental study on thermal conductivity and electrical conductivity of diesel oil-based nanofluids of graphene nanoplatelets and carbon nanotubes, International Communications in Heat and Mass Transfer, 95 (2018) 116-122.
- [2] K.M. Shirvan, M. Mamourian, J.A. Esfahani, Experimental study on thermal analysis of a novel shell and tube heat exchanger with corrugated tubes, Journal of Thermal Analysis and Calorimetry, 138(2) (2019) 1583-1606.

## علائم انگلیسی

ظرفیت گرمای ویژه، $\text{kJ}/\text{kg.K}$	$C_p$
قطر هیدرولیکی، $\text{m}$	$D_h$
قطر دهانه و پورت ورودی لوله، $\text{m}$	$D_p$
سرعت سیال در کanal‌های صفحه‌ها، $\text{m}/\text{s}$	$G_c$
نانو صفحات گرافن	$GNP$
سرعت در پورت لوله، $\text{m}/\text{s}$	$G_p$
ضریب انتقال حرارت جابجاگی، $\text{W}/\text{m}^\circ\text{K}$	$h$

- fitting, *Journal of Thermal Analysis and Calorimetry*, 143(6) (2021) 4149-4167.
- [11] M. Tabandeh-Khorshid, A. Kumar, E. Omrani, C. Kim, P. Rohatgi, Synthesis, characterization, and properties of graphene reinforced metal-matrix nanocomposites, *Composites Part B: Engineering*, 183 (2020) 107664.
- [12] J. M, J.R. Bose, j. Livingston, Experimental Study of Thermophysical Properties of Graphene Water Nanofluid BELOW Boiling Temperature, *International Journal of Mechanical Engineering and Technology*, 9(10) (2018) 1423-1433.
- [13] R. Sadri, K. Zangeneh Kamali, M. Hosseini, N. Zubir, S. Kazi, G. Ahmadi, M. Dahari, N.M. Huang, A. Golsheikh, Experimental study on thermo-physical and rheological properties of stable and green reduced graphene oxide nanofluids: Hydrothermal assisted technique, *Journal of dispersion science and technology*, 38(9) (2017) 1302-1310.
- [14] H.W. Xian, N.A.C. Sidik, R. Saidur, Impact of different surfactants and ultrasonication time on the stability and thermophysical properties of hybrid nanofluids, *International Communications in Heat and Mass Transfer*, 110 (2020) 104389.
- [15] R. Agromayor, D. Cabaleiro, A.A. Pardinas, J.P. Vallejo, J. Fernandez-Seara, L. Lugo, Heat transfer performance of functionalized graphene nanoplatelet aqueous nanofluids, *Materials*, 9(6) (2016) 455.
- [16] M.A. Jamil, Z.U. Din, T.S. Goraya, H. Yaqoob, S.M. Zubair, Thermal-hydraulic characteristics of gasketed plate heat exchangers as a preheater for thermal desalination systems, *Energy Conversion and Management*, 205 (2020) 112425.
- [17] M.S. Islam, S.C. Saha, Heat transfer enhancement investigation in a novel flat plate heat exchanger, *International Journal of Thermal Sciences*, 161 (2021) 106763.
- [18] N. Bozorgan, M. Shafahi, Analysis of gasketed-plate heat exchanger performance using nanofluid, *Journal of Heat and Mass Transfer Research*, 4(1) (2017) 65-72.
- [19] M. Shanbedi, S.Z. Heris, A. Maskooki, Experimental [3] A. Amiri, R. Sadri, M. Shanbedi, G. Ahmadi, S. Kazi, B. Chew, M.N.M. Zubir, Synthesis of ethylene glycol-treated graphene nanoplatelets with one-pot, microwave-assisted functionalization for use as a high performance engine coolant, *Energy conversion and management*, 101 (2015) 767-777.
- [4] A. Amiri, M. Shanbedi, M.J. AliAkbarzade, The specific heat capacity, effective thermal conductivity, density, and viscosity of coolants containing carboxylic acid functionalized multi-walled carbon nanotubes, *Journal of Dispersion Science and Technology*, 37(7) (2016) 949-955.
- [5] A. Amiri, M. Shanbedi, H. Dashti, Thermophysical and rheological properties of water-based graphene quantum dots nanofluids, *Journal of the Taiwan Institute of Chemical Engineers*, 76 (2017) 132-140.
- [6] M. Shanbedi, A. Amiri, S.Z. Heris, H. Eshghi, H. Yarmand, Effect of magnetic field on thermo-physical and hydrodynamic properties of different metals-decorated multi-walled carbon nanotubes-based water coolants in a closed conduit, *Journal of Thermal Analysis and Calorimetry*, 131(2) (2018) 1089-1106.
- [7] M. Xing, J. Yu, R. Wang, Experimental study on the thermal conductivity enhancement of water based nanofluids using different types of carbon nanotubes, *International Journal of Heat and Mass Transfer*, 88 (2015) 609-616.
- [8] M. Moradi, A. Abouchenari, M. Pudine, F. Sharifianjazi, The effect of polymeric surfactant content on the mechanical properties of Al/GNP nanocomposites, *Materials Chemistry and Physics*, 257 (2021) 123831.
- [9] P.K. Das, A review based on the effect and mechanism of thermal conductivity of normal nanofluids and hybrid nanofluids, *Journal of Molecular Liquids*, 240 (2017) 420-446.
- [10] S. Giwa, M. Sharifpur, M. Goodarzi, H. Alsulami, J. Meyer, Influence of base fluid, temperature, and concentration on the thermophysical properties of hybrid nanofluids of alumina–ferrofluid: experimental data, modeling through enhanced ANN, ANFIS, and curve

- [25] A.K. Tiwari, P. Ghosh, J. Sarkar, Particle concentration levels of various nanofluids in plate heat exchanger for best performance, International Journal of Heat and Mass Transfer, 89 (2015) 1110-1118.
- [26] J.P. Holman, Experimental methods for engineers, 2001.
- [27] M. Goodarzi, A. Amiri, M.S. Goodarzi, M.R. Safaei, A. Karimipour, E.M. Languri, M. Dahari, Investigation of heat transfer and pressure drop of a counter flow corrugated plate heat exchanger using MWCNT based nanofluids, International communications in heat and mass transfer, 66 (2015) 172-179.
- [28] O. Ramezani Azghandi, M.J. Maghrebi, A.R. Teymourtash, Modification of Glucose biosensor using Pt/MWCNTs electrode and optimization by application of taguchi method, International Journal of Nano Dimension, 7(3) (2016) 231-239.
- [29] O. Ramezani Azghandi, M.J. Maghrebi, A.R. Teymourtash, Investigation and optimization of heat transfer coefficient of MWCNTs-Water nanofluids in a plate heat exchanger, International Journal of Nano Dimension, 12(2) (2021) 104-112.
- investigation of stability and thermophysical properties of carbon nanotubes suspension in the presence of different surfactants, Journal of Thermal Analysis and Calorimetry, 120(2) (2015) 1193-1201.
- [20] T. Batakliev, I. Petrova-Doycheva, V. Angelov, V. Georgiev, E. Ivanov, R. Kotsilkova, M. Casa, C. Cirillo, R. Adami, M. Sarno, Effects of graphene nanoplatelets and multiwall carbon nanotubes on the structure and mechanical properties of poly (lactic acid) composites: a comparative study, Applied Sciences, 9(3) (2019) 469.
- [21] H. Allahyar, F. Hormozi, B. ZareNezhad, Experimental investigation on the thermal performance of a coiled heat exchanger using a new hybrid nanofluid, Experimental Thermal and Fluid Science, 76 (2016) 324-329.
- [22] S. Kakaç, H. Liu, A. Pramuanjaroenkij, Heat Exchangers: Selection, Rating, and Thermal Design, (2020).
- [23] V. Kumar, A.K. Tiwari, S.K. Ghosh, Effect of variable spacing on performance of plate heat exchanger using nanofluids, Energy, 114 (2016) 1107-1119.
- [24] D. Huang, Z. Wu, B. Sunden, Effects of hybrid nanofluid mixture in plate heat exchangers, Experimental Thermal and Fluid Science, 72 (2016) 190-196.

چگونه به این مقاله ارجاع دهیم

O. Ramezani Azghandi, M. J. Maghrebi , A. R. Teymourtash, Experimental Investigation of Flow Rate and Concentration Effects of Graphene-Water Nanofluid and Finding the Optimal Conditions Using Taguchi Method, Amirkabir J. Mech Eng., 54(3) (2022) 629-648.

DOI: [10.22060/mej.2021.20298.7209](https://doi.org/10.22060/mej.2021.20298.7209)

